Ds mo 2: Stabilisateur gynoscopique

1

(1) => Its
$$\frac{d^2a(t)}{dt} = -\int_b d\frac{a(t)}{dt} - ks d(t)$$
 can $\beta=0$ => $\frac{d\beta(t)}{dt}=0$

avec
$$2/w_0 = \frac{9b}{16}$$
 et $w_0^2 = \frac{kb}{16}$

relatif
$$D_{1}$$
 = $|\hat{a}(t\rightarrow t\infty) - \alpha(\frac{TP}{2})|^2 = |10 - 17,25| = 0,725$

93)
$$d(\omega) = 960 = 0$$
 of $\frac{dd(\omega)}{dt} = \frac{d}{dt} = 0$ \Rightarrow conditions de Heaviside sont Véhipées.

[2) \Rightarrow IJ p² R(P) = Iv wyn p Q(P)

(1) \Rightarrow IB p² Q(P) + Iv wyn p B(P) = Gmex(P) - (Fop + Rb) d(P)

(2) \Rightarrow Po(P) = Iv wyn Q(P) en substituent also dans (1)

 \Rightarrow $d(P)$ [I6 p² + fb p+Rb + (Iv wyn)²] = Gmex(P)

 \Rightarrow H(P) = $\frac{d(P)}{Gmex(P)} = \frac{1}{K + Ap + B} p²$
 \Rightarrow evec $K = Rb + (Fv wyn)²$, $A = fb$ it $B = Ib$

(3) \Rightarrow classe 0, order 2 et gain statique: $\frac{1}{K}$.

(4)

(5) En motation complexe Gmex(E) = $(o \sin(\omega t) + o t = 0)$ of $(o \cos(w t) + o t = 0)$ of $($

98) On remarque: -> parage de Dasymptote de phase de 0° à -180° est plus abrupte pour la bateau avec stabilification -> le pic de resonnance est plus étroit et plus haut par rapport au gain aux bases pulsations pour le bateau avec stabilisation => on déduit que le bateau ava stabilisation est meins amorti, c'est-à-dire: Javec < Joans 99) Pour une pulsation d'excitation w= 1 rad/s, on mesure: 20 log (14 gw)) = - 90 dB => [Hgw) = 10-9/2 et 4(w) ≈ - 25° De même, avec stabilisation cette foils-ci: 20 log (H(yw)) ~-140 dB => |H(yw)| = 10-7 er 4(w) = 0°. 911). La fonction de transfert H(p) providente, et par consequent ses déagrammes de Bode, out été dotenus par Rindansation du PFD appliqué à ?2+3 \ sous I hypothèse angle B petit ". => Aimsi', si' B devient trop grand, le domaine de volidité du modèle n'est plus respecte et on me peut donc plus Dutiliser pour en tiner des conclusions

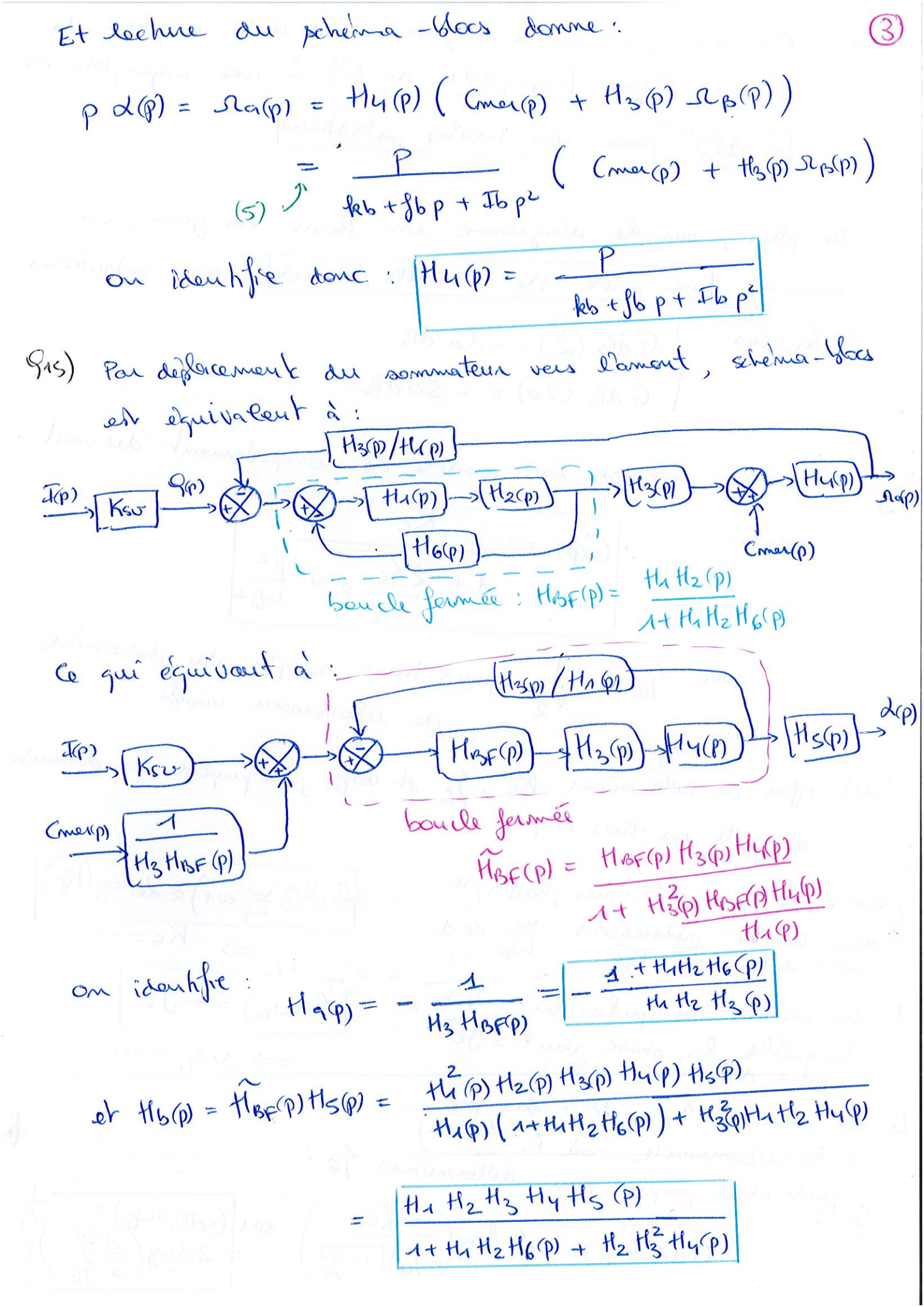
De mêne:
$$Sl_q(p) = p d(p) \Rightarrow H_S(p) = \frac{d(p)}{Sl_q(p)} = \frac{1}{p}$$

De mêne:

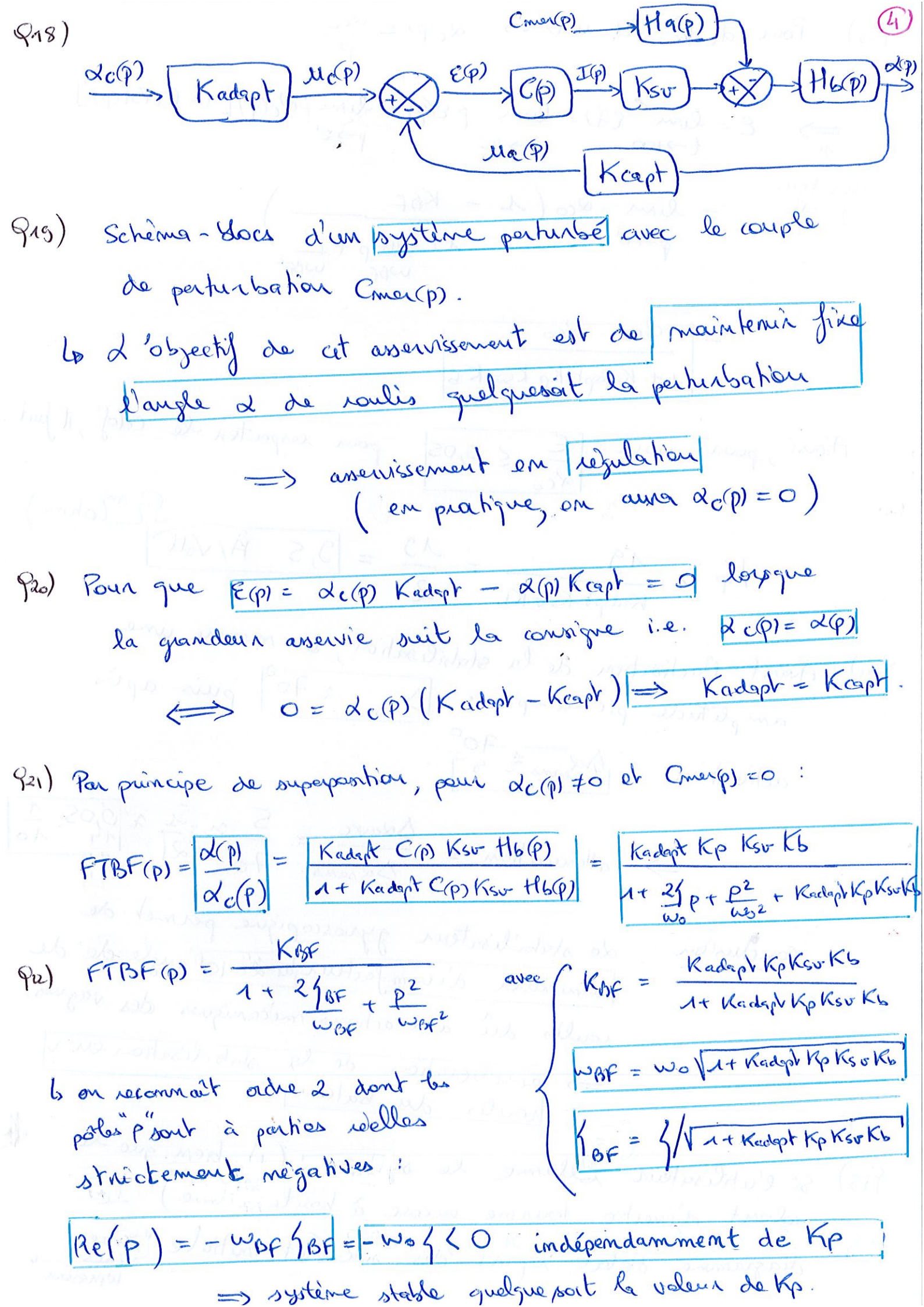
Par lechere du schema-blocs:

on identifie:
$$H_2(p) = \frac{1}{I_3p}$$
 et $H_3(p) = -I_0 \omega_m$.

Finalement:



916) On remarque sur le disgramme de Bade ou phase le
pasage d'une fasymptote de 0° à une asymptote de
la la la la la alions.
- 180° pour les houtes pulsations.
De plus, our le diagrame de Bode en gain, on
mesure une poute de -40 dB/décade aux pulsations
elevées $\left GdS(2) = -10 dB \right $ $\left GdS(20) = -50 dB \right $
-> ou proprèse le modèle de comportement suivant :
-> ou proprèse la modère de le
KG
$G(p) = \frac{1}{25c} + \frac{p^2}{100}$
$G(p) = \frac{K_G}{1 + 2\frac{K_G}{\omega_G}p + \frac{p^2}{\omega_G^2}}$
avec 96 < 1/2 pour ternir compte du phénomère de réponnance visable.
avec 96 C To pour ternix comple out
avec 76 72 pour romance visable.
917) Afon de détermener MG, 76 et WG, out par
917) Afin de déterminer KG, JG et WG, ou propose la démarche suivante en trois étapes:
Lon mesure le gain asymptotique (GdB (w 21) 2 20 log (Kg)
aux bases pelsations wo <<1 was 1000 pour determiner KG:
pour determiner MG.
la ou mesure la pulsation pour $f(w_6) = -95°$
la quelle la phose vout - 90° pour dékriminer us:
1. On mesure la gain du pic
à le réponnance ou à la pulsation propre pour asternimer 56:
persanon propos
Gas $(\omega_R) = 20 \log \left(\frac{K_G}{27_G \sqrt{1-9_G^2}} \right) \text{ on } Gds (\omega_G) \atop = 20 \log \left(\frac{K_G}{27_G} \right)$

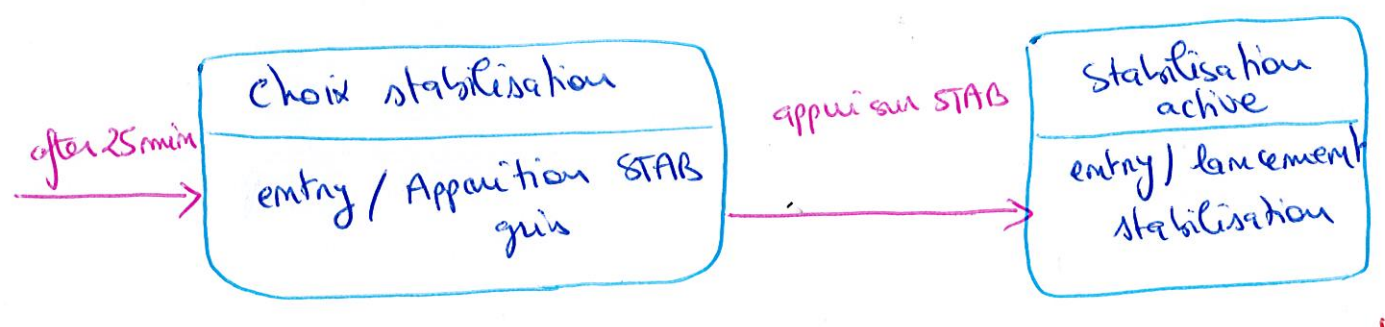


P23) Pour $d_e(t) = dco u(t) \Rightarrow \alpha_e(p) = \frac{dco}{p}$ $\varepsilon = \lim_{t\to +\infty} \varepsilon(t) = \lim_{p\to 0^+} p\varepsilon(p) = \lim_{p\to 0^+} pvc(p)[1-FTBF(p)]$ = lim &co (1 - KBF p-> of 1+2/BFp+ p2 wbf wbf2 = dco 1+ Kadapt Kp Ksr Kb Aimsi', pour avoir \(\frac{\xi}{\alpha_{co}} \ge 0,05 \) pour respecten le cdof, il fait: Kp > 19 = 19 = 9,5 A/Volt 924) Avant Dachration de la stabilisation, ou mesure une amplitude pie-à-pic: Dasans 270 puis après activation: Danvec = 50 => alternation = $\frac{\Delta \alpha \text{ wec}}{\Delta \alpha \text{ sans}} \approx \frac{5}{70} = \frac{5}{5 \times 14} = \frac{1}{14} \left\langle \frac{1}{10} \right\rangle$ de stabilisateur gyroscopique permet de diminuer d'au moins un facteur 10 l'angle de Conclusion roulis du aux actions melaniques des vagues. => amelionation de la stabilisation en voulis du bateau. PRS) si l'utilisateur vollume le système (et bien que le volant d'inertre tourne encore à houte viterse) le diagramme détat repart de son état imitial "rise sous

Ainsi, avant de voir disparaître la boure temporelle (5) il faut velifier touites les conditions de transition des états précèdents => Il faudre attenche 35 minutes.



De mêne, avant de pouvoir lancer la stabilisation (en appreyant sur bouton STAB) il faut attendre 25 minutes pour que celui-ci soit "appreyable" (appailion STAB quis).

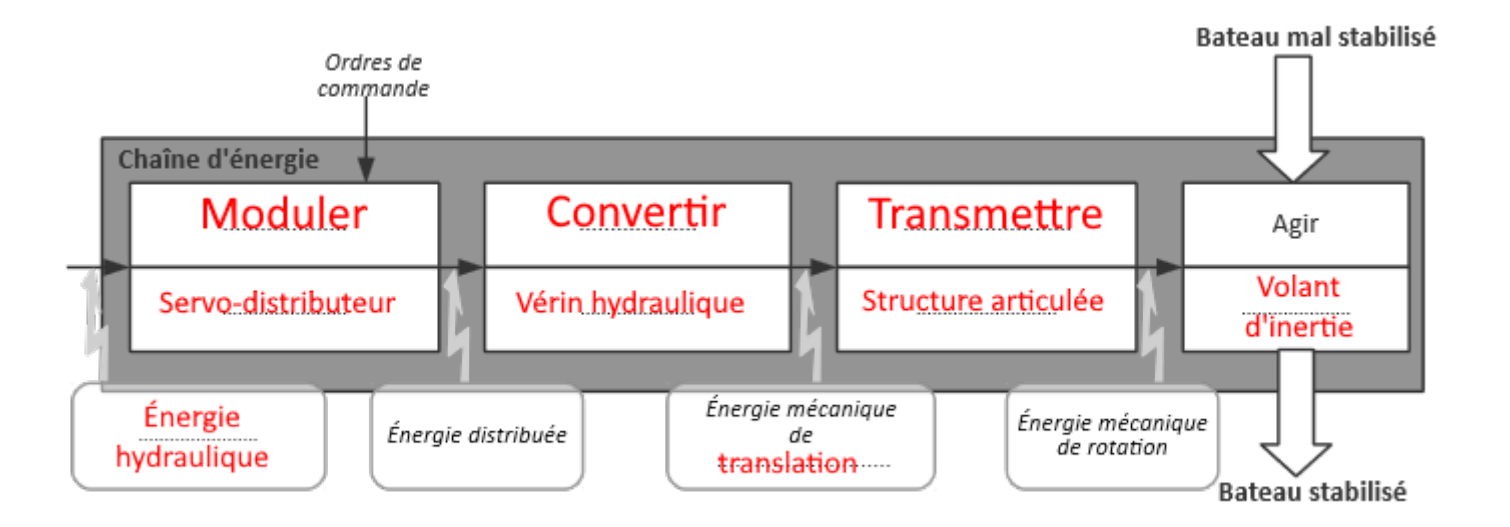


- Rg: Co genne de question peut faire peur Mais des généralemnt des points faciles, sans calcul, à gagmen en faisant preuve d'un peu de dogique.
- P26) On voit que l'attente excessive provient de l'absence de pripe on compte de la viterse wombt du volant d'inertie dans les conditions de transition entre états précédents. On propose donc d'atiliser le capteur de viterse du volant d'inertie et de réaliser las deux modifications suiventes!

remplacer / (after 25 min) par (when wm > wms)
(after 35 min) par (when wm > wm2)

où uma et uma port des viterses sevils à définin.

Question 12:



Question 13:

